

# 6.4 Rekapitulation, Beispiele

- die "Postkarte aus 1863":

$$\begin{aligned}
 \vec{\nabla} \cdot \vec{E} &= 4\pi g, & \vec{\nabla} \times \vec{E} + \dot{\vec{B}}/c &= \vec{0} \\
 \vec{\nabla} \cdot \vec{B} &= 0, & \vec{\nabla} \times \vec{B} - \dot{\vec{E}}/c &= \frac{4\pi}{c} \vec{j} \\
 m\vec{v} &= q(\vec{E} + \frac{\vec{v}}{c} \times \vec{B})
 \end{aligned}
 \left. \begin{array}{l} \text{Max } 1, 2 \\ 3, 4 \\ \text{S, } \vec{j} \text{ gegeben} \\ \Rightarrow \vec{E}, \vec{B} \text{ eindeutig} \\ \leadsto \text{Ansätze erlaubt} \end{array} \right\}$$

- (aus Spaß:) def  $\vec{\psi} \equiv \vec{E} + i\vec{B}$

$$\begin{aligned}
 (\Leftrightarrow \vec{E} = \text{Re } \vec{\psi} = \frac{1}{2}(\vec{\psi} + \vec{\psi}^*), & \quad \vec{B} = \text{Im } (\vec{\psi}) = \frac{1}{2i}(\vec{\psi} - \vec{\psi}^*)) \\
 \Rightarrow \vec{\nabla} \cdot \vec{\psi} &= 4\pi g, \quad \vec{\nabla} \times \vec{\psi} - \frac{i}{c} \dot{\vec{\psi}} = \frac{i}{c} 4\pi \vec{j}
 \end{aligned}$$

- aus §6.3: es ex. (immer) Potentiale  $\phi, \vec{A}$

$$\begin{aligned}
 \vec{E} &= -\vec{\nabla}\phi - \dot{\vec{A}}/c, & \vec{B} &= \vec{\nabla} \times \vec{A} \\
 \Rightarrow \left( \frac{1}{c^2} \partial_t^2 - \vec{\nabla}^2 \right) \begin{pmatrix} \phi \\ \vec{A} \end{pmatrix} &= \frac{4\pi}{c} \begin{pmatrix} \rho_S \\ \vec{j} \end{pmatrix} + \begin{pmatrix} \frac{1}{c} \partial_t \epsilon \\ -\vec{\nabla} \end{pmatrix} (\vec{\nabla} \cdot \vec{A} + \dot{\phi}/c) \\
 L &= \frac{m}{2} \vec{v}^2 - q\phi + \frac{q}{c} \vec{v} \cdot \vec{A}
 \end{aligned}
 \left. \begin{array}{l} \text{erfüllt Max 2, 3} \\ \text{Max } 4 \\ 4 \text{ Gln, } 4 \text{ Freiheitsgrade} \\ = 0 \text{ in Lorentz-Eichung} \end{array} \right\}$$

"Eich" invarianz:  $\begin{pmatrix} \phi \\ \vec{A} \end{pmatrix} \rightarrow \begin{pmatrix} \phi \\ \vec{A} \end{pmatrix} - \begin{pmatrix} \frac{1}{c} \partial_t \chi \\ -\vec{\nabla} \chi \end{pmatrix} \chi$  erlaubt,  $\chi(\vec{r}, t)$  beliebig

- aus S.86: Max m integrierbar Form, via Integralsätze

$$\left( \begin{array}{l} \text{Gauss} \int_V d^3r \vec{\nabla} \cdot \vec{\mathbb{M}} = \oint_{\partial V} d\vec{f} \cdot \vec{\mathbb{M}} \\ \text{Stokes} \int_F d\vec{f} \cdot (\vec{\nabla} \times \vec{\mathbb{M}}) = \oint_{\partial F} d\vec{r} \cdot \vec{\mathbb{M}} \end{array} \right) \rightarrow \text{bilde } \int_V d^3r \begin{matrix} \text{Max 1} \\ \text{Max 3} \end{matrix}, \int_F d\vec{f} \cdot \begin{matrix} \text{Max 2} \\ \text{Max 4} \end{matrix}$$

$$\begin{aligned}
 \oint_{\partial V} d\vec{f} \cdot \vec{E} &= \int_V d^3r 4\pi g, & \oint_{\partial F} d\vec{r} \cdot \vec{E} + \frac{1}{c} \partial_t \int_F d\vec{f} \cdot \vec{B} &= \vec{0} \\
 \oint_{\partial V} d\vec{f} \cdot \vec{B} &= 0, & \oint_{\partial F} d\vec{r} \cdot \vec{B} - \frac{1}{c} \partial_t \int_F d\vec{f} \cdot \vec{E} &= \frac{4\pi}{c} \int_F d\vec{f} \cdot \vec{j}
 \end{aligned}$$

$\leadsto$  wenn anwendbar, dann randtabel (keine  $\vec{\nabla}$  mehr!)  
(aber auch immer per Ansatz via lokaler Flux lösbar)

- ... später weitere Umformulierungen:  
Max m obor (Fourier-) Unterwelt ...

Bsp (Ladungsdichte  $\rightarrow$  Ladung)

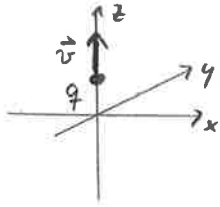
gegeben:  $\rho(\vec{r}) = \frac{\alpha}{r^2} e^{-\beta r} \cos^2 \theta$ , Gesamtladung  $Q = ?$

$$Q = \alpha \int_0^\infty dr r^2 \frac{e^{-\beta r}}{r^2} \int_0^\pi d\theta \sin \theta \cos^2 \theta \int_0^{2\pi} d\phi$$

$$= \alpha \left( -\frac{1}{\beta} e^{-\beta r} \Big|_0^\infty \right) \left( -\frac{1}{3} \cos^3 \theta \Big|_0^\pi \right) 2\pi = \alpha \frac{1}{\beta} \frac{2}{3} 2\pi$$

Bsp (Stromdichte  $\rightarrow$  Strom)

Punktladung  $q$  fliege mit  $\vec{v} = v \vec{e}_3$ , Strom durch  $xy$ -Ebene  $I(t) = ?$



$$\vec{j} = \rho \vec{v} = q \delta(\vec{r} - vt \vec{e}_3) v \vec{e}_3$$

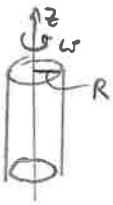
(5.76)

$$I = \int_{\mathbb{R}^2} d\vec{f} \cdot \vec{j} = \int dx dy q v \delta(\vec{r} - vt \vec{e}_3)$$

$$= q v \delta(z - vt) = q v \delta(t)$$

$z=0$  in  $xy$ -Ebene

Bsp (Stromdichte, Strom)



homogen geladener,  $\infty$  langer Zylinder (Radius  $R$ , Ladungsdichte  $\rho$ )  
drehe sich mit Winkelgeschw.  $\vec{\omega} = \omega \vec{e}_3$  um seine Symmetrieachse.

Stromdichte  $\vec{j} = ?$   $\vec{j} = \rho \vec{v} = \rho \vec{\omega} \times \vec{r} = \rho \omega r \vec{e}_\phi \Theta(r-R) = \rho \omega \begin{pmatrix} -y \\ x \\ 0 \end{pmatrix} \Theta(r-R)$

Strom pro Höhenintervall  $h$  durch rechte  $xz$ -Halbebene  $I = ?$

$$I = \int_{\mathbb{R}^2} d\vec{f} \cdot \vec{j} = \int_0^R dx \int_0^h dz \rho \omega x = \rho \omega \left( \frac{1}{2} x^2 \Big|_0^R \right) h = \frac{1}{2} h \rho \omega R^2$$

Bsp (Divergenz, Rotation)

gegeben:  $\vec{f} = \alpha (y, x, 0)$ ,  $\text{div} \vec{f} = ?$   $\text{rot} \vec{f} = ?$

Ladungsstromlinien:

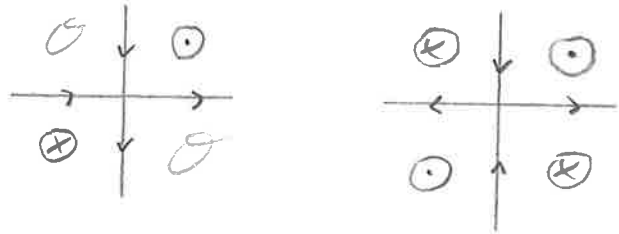
ausrechnen:  $\vec{\nabla} \cdot \vec{f} = 0$

$$\vec{\nabla} \times \vec{f} = \alpha (0, 0, 1-1) = \vec{0}$$

Bsp ( $\vec{B}$ -Ansätze)

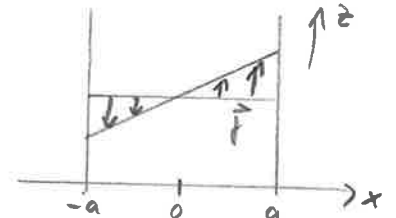
in zwei  $\perp$ ,  $\infty$  dünnen Platten herrsche homogene Stromdichte.  
 $\vec{B}$ -Richtung = ?

Rechte-Hand-Regel!



Bsp (Max 4 per Ansatz)

in  $\infty$  ausgedehnter Schicht ( $-a < x < a$ )  
 fließe Strom in  $\pm z$ -Richtung,



Stromdichte linear von  $-j_0 \vec{e}_3$  ...  $+j_0 \vec{e}_3$  zunehmend.  $\vec{B} = ?$

$$\vec{j} = j_0 \frac{x}{a} \vec{e}_3 \Theta(a^2 - x^2)$$

Ansatz  $\vec{B} = (0, f(x), 0)$  (Max 3 ✓)  $\alpha$

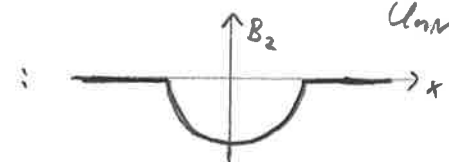
Max 4:  $\vec{\nabla} \times (0, f, 0) = (0, 0, f')$   $\stackrel{!}{=} \begin{cases} \frac{2\pi}{c} \frac{j_0}{a} (0, 0, 2x) & \text{innen} \\ 0 & \text{außen} \end{cases}$

$$\Rightarrow f_{\text{innen}} = \alpha x^2 + C, \quad f_{\text{außen}} = \text{const} \equiv \begin{cases} D & \text{links} \\ E & \text{rechts} \end{cases}$$

$\vec{B}$  stetig bei  $x = \pm a$  (denn wenn  $B$  springt  $(\theta) \rightarrow \text{rot } \vec{B}$  hat  $\delta$  aber  $\vec{j}$  hat  $\text{Grenz}$ )

$$\rightarrow D = \alpha a^2 + C = E = 0 \quad (\text{wenn keine Spule am Rand des Universums})$$

$$\Rightarrow \vec{B} = \begin{cases} \vec{e}_2 \alpha (x^2 - a^2) & \text{innen} \\ \vec{0} & \text{außen} \end{cases}$$



Bsp (Teilchen im Magnetfeld)

löse die Bwgl für ein Teilchen im konstanten  $\vec{B} = (0, 0, B)$   
 durch Einführung der komplexen Variablen  $z \equiv v_1 + i v_2$  ( $\vec{v} = \dot{\vec{r}}$ ):

$$m \dot{\vec{v}} = \frac{q}{c} \vec{v} \times \vec{B} = \frac{qB}{c} (v_2, -v_1, 0) \Leftrightarrow m \dot{z} = -\frac{qB}{c} i z$$

$$\Rightarrow z = e^{-i \frac{qB}{mc} t} \quad \left( \begin{matrix} \vdots \\ = \cos \frac{qB}{mc} t - i \sin \frac{qB}{mc} t \end{matrix} \right)$$

Bsp (Vektorpotential, Eichung)

homogenes, konstantes Magnetfeld  $\vec{B} = (0, 0, B)$ ,  $\vec{A} = ?$

$\vec{B} = \nabla \times \vec{A}$ ,  $\vec{A} = B(0, x, 0)$  tut's

welches neue  $\vec{A}$  erhält man durch Eichtransformation  $\chi = -\frac{B}{2}xy$ ?

$\vec{A} \rightarrow \vec{A} + \nabla \chi = B(0, x, 0) - \frac{B}{2}(y, x, 0) = \frac{B}{2}(-y, x, 0) = \frac{B}{2} s \vec{e}_\varphi$

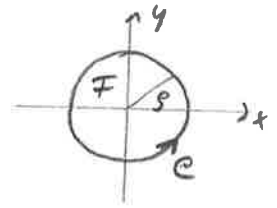
Bsp (Integrale Max 2)

sei  $\vec{B} = (0, 0, -\alpha t)$  und  $\vec{E} = E(s) \vec{e}_\varphi$ ,  $E(s) = ?$   
 $\uparrow$  const.  $\uparrow \sqrt{x^2+y^2}$

$\int_{\text{Max 2}}: \oint_C d\vec{r} \cdot \vec{E} + \frac{1}{c} \frac{d}{dt} \int_F d\vec{f} \cdot \vec{B} = 0$

$2\pi s E + \frac{1}{c} \frac{d}{dt} \pi s^2 (-\alpha t) = 0$

$\Rightarrow E = \frac{\alpha s}{2c}$



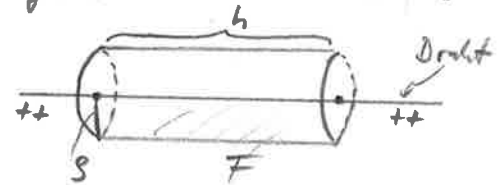
Bsp (Integrale Max 1)

homogen geladener Draht ( $\infty$  lang + dünn,  $\sigma = \frac{\text{Ladung}}{\text{Länge}}$ ).  $|\vec{E}(r)| = E(s) = ?$

$\int_{\text{Max 1}}: \oint_F d\vec{r} \cdot \vec{E} = 4\pi \int_V d^3r \rho$

$h 2\pi s E = 4\pi h \sigma s$

$\Rightarrow E = 2\sigma/s$



Bsp (Integrale Max 4)

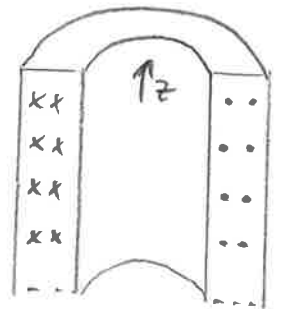
Magnetfeld im Innern einer Spule  
 ( $\infty$  lang, Strom I, Windungszahl pro Länge: N)

$\int_{\text{Max 4}}: \oint_C d\vec{r} \cdot \vec{B} + (\sim \vec{E}) = \frac{4\pi}{c} \int_F d\vec{f} \cdot \vec{j}$

aus Symmetriegründen:  $\vec{B} = (0, 0, B_3)$

$h B_3 = \frac{4\pi}{c} (-h N I)$

$\Rightarrow B_3 = -4\pi N I / c$



Rechte-Hand-Regel